

Таким образом, определяем коэффициенты

$$C_n - C_{-n} = (-1)^{k+1} \frac{2}{B_n + nr \cdot A_n} = (-1)^{k+1} \frac{2}{\operatorname{sh} rn \frac{H}{R} + nr \operatorname{ch} rn \frac{H}{R}}$$

В результате получаем решение уравнений Лапласа для рассматриваемого случая:

$$U = 2U_0 \sum_{n=1}^{\infty} \frac{\cos 2\pi n \frac{x}{b} \operatorname{sh} 2\pi n \frac{y}{b}}{\operatorname{sh} \cdot 2\pi n \frac{H}{b} + 2\pi n \frac{R}{b} \operatorname{ch} 2\pi n \frac{H}{b}}.$$

Статья поступила в редакцию 24.12.83

УДК 528.38

Б. Г. КУЗНЕЦОВА, М. И. МЕЛЬНИЧУК, Б. Л. СКУИН, К. Р. ТРЕТЬЯК

ИЗУЧЕНИЕ

СОВРЕМЕННЫХ ДВИЖЕНИЙ ЗЕМНОЙ КОРЫ В ЗОНЕ ЗАКАРПАТСКОГО ГЛУБИННОГО РАЗЛОМА

Выполнение комплекса геофизических, гидрогеологических, геодезических исследований, основная задача которых — изучение особенностей геодинамики и сейсмичности территории, Закарпатского внутреннего прогиба и юго-западной части складчатых Карпат, потребовало специальных работ в зоне Закарпатского глубинного разлома, который является основной сейсмотектонической линией региона (рис. 1) [6] и отделяет два различных по строению и мощности блока земной коры — складчатые Карпаты (мощность земной коры 55 км) и Закарпатский прогиб (глубина до поверхности Мохо 25 км).

Небходимость постановки комплексных исследований зоны разлома обусловлена не только изучением его современной тектонической активности, но и выяснением его роли в истории развития Восточных Карпат и уточнением его пространственного положения.

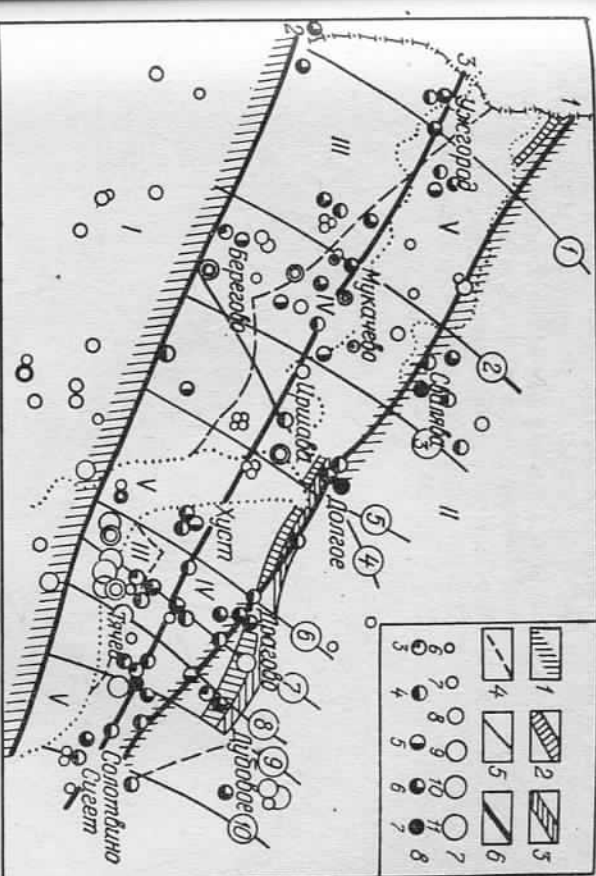
Разлом имеет транскарпатское простиранье и прослеживается на расстоянии до 600 км. К нему тяготеет большинство землетрясений Закарпатья [4, 6].

Проявлением разлома на поверхности является узкая тектоническая зона, известная под названием Пенинских утесов (рис. 2). Их внутренняя структура и структура окружающих образований объясняется лишь с позиций развития глубинного разлома [3]. Глубинный характер Закарпатского разлома подтвержден данными ГСЗ. В гравитационном поле разлом трассируется как гра-

Рис. 1. Элементы сейсмотектоники Закарпатского прогиба. I — Паннонская (Венгерская) впадина, II — складчатые Карпаты, III — Чоп-Богородянская зона, IV — Мукачево-Солотвинская структурная грядка. Разломы: 1 — Закарпатский; 2 — Примантийский; 3 — Центральная зона разломов негубового загорания (Ужгород—Солотвина); 4 — зона Пенинских утесов; 5 — зона Мармаросских утесов; 6 — граница между структурными зонами III и IV; 7 — попеченные разломы (цифры в кружках); 8 — Боржавский, 9 — Мукачевский (Латорники), 10 — Велики-Драговски, 7 — Тереблянский. Сейсмотектонические зоны: 1—1 — Закарпатский глубинный разлом, 2—2 — Центральная зона разломов негубового загорания, 3—3 — Примантийский разлом, 7 — антропогенный класс землетрясений, 8 — интенсивность землетрясений в баллах.

ница между линейно-полосовым полем над складчатыми Карпатами и сложным мозаичным полем Закарпатского прогиба. Причем в северо-западной части эта граница проводится достаточно четко, а к юго-востоку характер поля силы тяжести сложный и разлом наглядно не проявляется.

Для уточнения положения разлома (особенно в его юго-восточной части) и изучения современной тектонической активности его в 1977—1980 гг. в центральной и юго-восточной части Закарпатского прогиба создано три профиля (длиной около 35 км каждый), пересекающих зону разлома. На них выполняются комплексные (геофизические и геодезические) наблюдения, которые планируется проводить в течение ряда лет. Создана сеть знаков для повторного нивелирования I класса и ведутся ежегодные геомагнитные измерения. Ряд пунктов нивелировки совмещен с пунктами гравиметрического хода, а в местах, где имеются помехи, геомагнитные измерения ведут вблизи геодезических знаков на специально заложенных пунктах.



Исследование временного геомагнитного поля и вертикальных смещений фундаментальных реперов за период с 1978 по 1983 г. позволили выделить четыре зоны по профилю Иршава—Кушица, характеризующиеся стабильной динамикой обоих полей и хорошо стыкующиеся с тектоническим строением региона.

Аналогичные работы на профилях Хуст—Н. Быстрый, Тересва—Усть-Черная начаты в 1980—1981 гг.

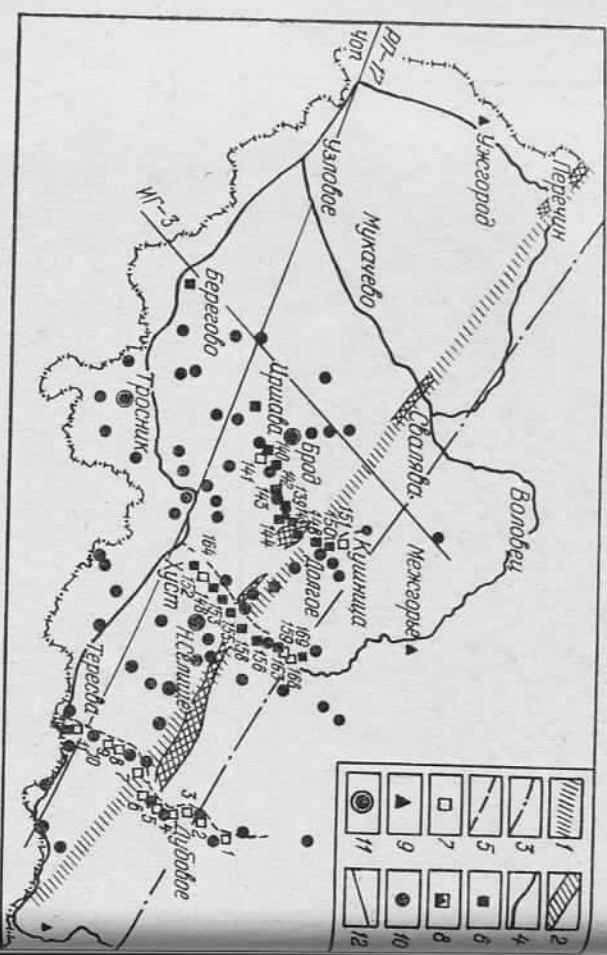


Рис. 2. Схема расположения профилей для изучения структуры зоны Закарпатья.

1 — разлом, 2 — зона Пенинских утесов, 3 — ось Карпатской аномалии электропроводности, 4 — полигон повторного нивелирования, 5 — профили многократных измерений, 6 — универсальный эллипс, 7 — фундаментальный репер, 8 — штольни, 9 — сейсмостанции, 10 — пункт магнитных наблюдений, 11 — горные геомагнитные станции, 12 — профили ТСЗ.

Для геодезических целей, а в последующем для изучения пространственных движений земной коры, в зоне разлома в 1968—1970 гг. лабораторией НИС-18 ЛПИ по заказу ЦНИИГАЛК был создан эталонный геодезический полигон [1].

В 1983 г. в районе профиля Тересва—Усть-Черная лабораторией НИС-18 ЛПИ построена специальная пространственная геодезическая сеть для изучения горизонтальных и вертикальных подвижек в зоне разлома. Сеть состоит из девяти пунктов, три из которых совмещены с фундаментальными реперами профиля. Проектирование и построение сети выполнено с учетом геометрических и геодезических факторов, геологического и тектонофизического строения исследуемого полигона (рис. 3). Средняя длина стороны сети ≈ 2 км. Максимальный перепад высот сети ≈ 810 м. Уклоны достигают 15° .

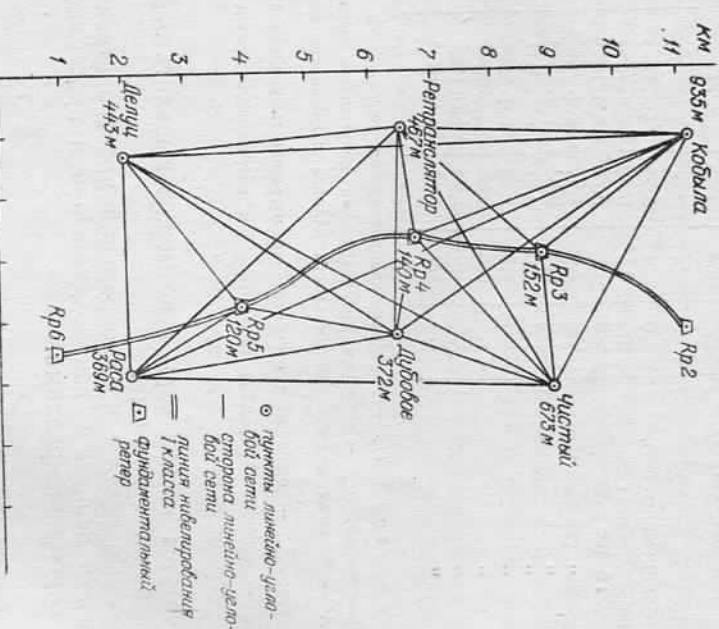


Рис. 3. Схема локального Карпатского геодинамического полигона.

При разработке оптимальной программы наблюдений на планово-высотной сети создана программа на языке Фортран-IV для ЭВМ ЕС, позволяющая выполнять оценку точности построений (эллипсы погрешностей положения пунктов, взаимное положение пунктов). Предрасчет точности модельной сети выполнен в десяти вариантах с различными комбинациями среднеквадратических по-

Для разработки оптимальной программы наблюдений на планово-высотной сети создана программа на языке Фортран-IV для ЭВМ ЕС, позволяющая выполнять оценку точности построений (эллипсы погрешностей положения пунктов, взаимное положение пунктов). Предрасчет точности модельной сети выполнен в десяти вариантах с различными комбинациями среднеквадратических по-

Для разработки оптимальной программы наблюдений на планово-высотной сети создана программа на языке Фортран-IV для ЭВМ ЕС, позволяющая выполнять оценку точности построений (эллипсы погрешностей положения пунктов, взаимное положение пунктов). Предрасчет точности модельной сети выполнен в десяти вариантах с различными комбинациями среднеквадратических по-

Сеть разломов профиля Тересва—Усть-Черная, которые пересекаются с продольными Закарпатским и Припаннонским разломами, образуют крупную зону деформации земной коры и соответственно зону потери корреляции упругих волн (по данным ЗУГРЭ МГ УССР шириной до 24 км). Вследствие такого нарушения:

Точностные характеристики модельной сети

Название сети	m_s , см	m_a	λ , см	$\frac{m_s}{S}$	m_a'
Трилатерационная сеть	1,0	—	3,22	$1,0 \cdot 10^{-5}$	2,8"
Линейно-угловая сеть	0,5	0,5"	0,49	$3,3 \cdot 10^{-6}$	0,4
То же	0,5	1,0	0,78	$4,0 \cdot 10^{-6}$	0,5
"	0,5	1,5	1,00	$5,0 \cdot 10^{-6}$	0,9
"	1,0	0,5	0,63	$6,0 \cdot 10^{-6}$	0,7
"	1,0	1,0	0,97	$6,0 \cdot 10^{-6}$	0,8
"	1,5	1,5	1,29	$6,0 \cdot 10^{-6}$	1,0
"	1,5	0,5	0,88	$4,0 \cdot 10^{-6}$	0,8
"	1,5	1,0	1,08	$1,0 \cdot 10^{-5}$	1,1
"	1,5	1,5	1,45	$1,0 \cdot 10^{-5}$	1,2

Причина: m_s — средняя квадратическая погрешность измерения расстояний; m_a — средняя квадратическая погрешность измерения углов; A — большая полуось максимального эллиса погрешности положения пункта; $\frac{m_s}{S}$ — ожидаемая относительная погрешность уравненной линии; m_a — ожидаемая средняя квадратическая погрешность измерения направления;

шения структуры земной коры невозможно выделить зону Закарпатского глубинного разлома.

Планируемые работы на специальной пространственной сети должны внести ясность в вопрос динамики и пространственного положения глубинного разлома.

Список литературы: 1. Вироцэ Ю. Б., Найдов Я. В., Острожский А. Л. Этапный геодезический полигон в горном районе. — Геодезия и картография, 1971, № 12. 2. Геологическое строение и горючие ископаемые Украинских Карпат. — Тр. УкрНИГРИ, 1971, вып. 25. 3. Гофштейн І. Д., Сомов В. І., Кузнецова В. Г. Вивчення сучасних рухів земної кори в Карпатах. — К.: Наук.-думка, 1971. 4. Карпатський геодинамічний полигон. — М.: Св. радіо, 1978. 5. Кузнецова В. Г. Локальні временні зміни геомагнітного поля в сейнічному Закарпатському прогибі. — Геофіз. журн., 1981, т. 3, № 6. 6. Мельничук М. И. О генетической связи сейсмических процессов с тектоникой Карпатского региона. — Геофиз. журн., 1982, т. 4, № 2.

Статья поступила в редакцию 31.12.83

УДК 63.528.4+631.67+633.18

А. В. МАКУШИН

ВЫБОР МАСШТАБА ТОПОГРАФИЧЕСКОГО ПЛНА ДЛЯ РЕКОНСТРУКЦИИ РИСОВОЙ ОРОСИТЕЛЬНОЙ СИСТЕМЫ

Выбор масштаба топографического плана, предназначенного для проектирования реконструкции рисовой оросительной системы, связан с учетом многих масштабообразующих факторов. На основании исследований [4, 5] применительно к реконструкции рисовых систем установлены следующие масштабообразующие факторы: необходимая степень насыщенности плана объектами местности; достаточная точность получения на плане проектных величин (длин линий, углов и, главное, площадей), а также изображения на плане рельефа местности.

Исходя из необходимой точности определения на плане площадей рисовых чеков, на основании [4] получена рабочая формула для определения расчетного знаменателя масштаба

$$M_p = 33 \cdot 10^4 \frac{m_p}{P_q}, \quad (1)$$

в которой m_p — относительная средняя квадратическая погрешность определения площади рисового поля, устанавливаемая на основании требований потребителя; P_q — оптимальная площадь рисового чека, га.

Согласно [2], $m_p=0,055$. Принимая площадь чека $P_q=5,5$ га [3], по (1) получаем $M_p=7754$. Ближайший стандартный масштаб, знаменатель которого находим из неравенства

$$M \leq M_p, \quad (2)$$

будет 1 : 5000.

Масштаб топографического плана, исходя из достаточной степени насыщенности плана объектами местности, согласно методике [5], определяем по формуле критерия избыточности информации

$$\min_{(G)} [G] = \min \left[1 - \frac{R_0}{R_m} \right], \quad (3)$$

где G — избыточность информации; R_0 — характеристика информативности крупномасштабного топографического плана, под которой понимается достаточное для потребителя количество информации на 1 га при решении задачи проектирования; R_m — характеристика масштабообразующей информативной емкости крупномасштабного топографического плана, выбираемого из следующих значений: